
СИСТЕМНЫЙ АНАЛИЗ, МАТЕМАТИЧЕСКОЕ МОДЕЛИРОВАНИЕ

УДК 539.193/.194; 535.33/.34

СТРУКТУРНО-ДИНАМИЧЕСКИЕ МОДЕЛИ ФОСФИНА И МЕТИЛФОСФИНА

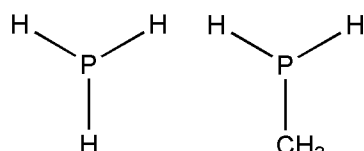
А.С. Кладиева, А.Б. Осин, М.Д. Элькин

В различных базисах метода функционала плотности DFT/B3LYP проведены модельные расчеты геометрии и колебательных состояний фосфина и метилфосфина. Выяснены возможности использования технологии Gaussian в построении структурно-динамических моделей фосфорсодержащих соединений.

Ключевые слова: колебательные спектры, фосфин, метилфосфин, ангармонические постоянные, резонанс Ферми, структурно-динамические модели.

Key words: vibrational spectra, phosphine, methylphosphine, anharmonic constants, Fermi resonance, structural dynamic models.

Исследование возможностей технологии Gaussian [9] в предсказательных расчетах геометрической и электронной структуры фосфорсодержащих соединений, а также в построении структурно-динамических моделей молекул естественно начать с простейших представителей данного класса соединений. Таковыми следует считать фосфин PH₃ и метилфосфин CH₃PH₂ (рис. 1 а, б). Первая молекула принадлежит к точечной группе симметрии C_{3v}, вторая к группе C_s [6].



аб

Рис. 1. Структура молекул: а) фосфина; б) метилфосфина

Известно, что существующие версии компьютерной технологии Gaussian [9] позволяют оценить ангармонические параметры адиабатического потенциала (кубические F_{ijk} и квартичные F_{ijkl} силовые постоянные) лишь для молекул низшей симметрии. В нашем случае это относится к метилфосфину. Для фосфина можно воспользоваться следующим методическим приемом: понизить симметрию молекулы до C_s, несущественно изменив (в пределах точности микроволнового эксперимента [6]) длину одной из связей PH. Это позволит не только осуществить решение задачи в ангармоническом приближении теории молекулярных колебаний, но и выяснить достоверность получаемых результатов при использовании указанного выше методического приема. Отметим, что попытки оценить потенциальную функцию фос-

ПРИКАСПИЙСКИЙ ЖУРНАЛ: управление и высокие технологии № 4 (8) 2009

фина на основе экспериментальных данных, были предприняты в работе [1], а ангармонических параметров адиабатического потенциала в работе [10].

Неэмпирические квантовые расчеты параметров адиабатического потенциала фосфина и метилфосфина осуществлены для 12-ти базисных наборов: от 6–31 G(d) до 6–311++ G(d, p). Такой подход диктуется следующими обстоятельствами. Имеет место зависимость рассчитанных значений фундаментальных колебательных состояний, кубических и квартичных силовых постоянных от используемого базиса, по разным схемам осуществляется учет ангармонического смещения фундаментальных полос. Это можно объяснить или различием в расчетных формулах адиабатической теории возмущения второго порядка [2], или в методике учета ангармонических резонансов Ферми [4] между фундаментальными колебаниями и обертонами. Выбор схемы определяется пороговым значением энергетической щели между резонирующими колебательными состояниями. Подробно эти вопросы рассмотрены в работах [3, 8].

Для анализа колебательной подсистемы молекулы использовано модельное квантовое уравнение с гамильтонианом в форме [2]:

$$H = \frac{1}{2} \left[P_i^2 + (v_i Q_i)^2 + F_{ijk} Q_i Q_j Q_k + F_{ijkl} Q_i Q_j Q_k Q_l \right]. \quad (1)$$

Решением уравнения (1) является известное выражение

$$E^{(n)} = v_i (n_i + g_i / 2) + \chi_{ij} (n_i + 1/2)(n_j + 1/2)(1 + \delta_{ij} / 2). \quad (2)$$

Здесь v_i – частоты гармонических колебаний, n_i – колебательные квантовые числа, χ_{ij} – ангармонические постоянные, вычисляемые с помощью соотношений:

$$\begin{aligned} \chi_{ii} &= \frac{1}{4} \left\{ 6F_{iiii} - \frac{15F_{iii}^2}{v_i} - \sum_j \frac{F_{ijj}^2}{v_j} \frac{8v_i^2 - 3v_j^2}{4v_i^2 - v_j^2} \right\}, \\ \chi_{ij} &= \frac{1}{4} \left\{ F_{iijj} - \frac{6F_{ijj}F_{ijj}}{v_i} - \frac{4F_{ijj}^2 v_i}{4v_i^2 - v_j^2} - \sum_k \frac{(F_{ikk} - F_{kjj})^2}{v_k} - \right. \\ &\quad \left. - \sum_k \frac{F_{ijk}v_k(v_k^2 - v_i^2 - v_j^2)}{(v_i + v_k + v_j)(v_i + v_k - v_j)(v_i - v_k + v_j)(v_i - v_k - v_j)} \right\}. \end{aligned} \quad (3)$$

Сдвиг фундаментальных полос колебаний определяется ангармоническими поправками $X_{ii} = \frac{9}{4}\chi_{ii}$ и $X_i = \frac{3}{4}\sum_r \chi_{ir}$. Резонансные знаменатели для ангармонических постоянных в выражении (3) ограничивают область их применения.

По умолчанию в технологии Gaussian – 03 значение энергетической щели между резонирующими колебательными состояниями должна превышать 10 см^{-1} . В противном случае схема (3) в заложенном в технологии Gaussian – 03 алгоритме, заменяется на схему учета резонансов Ферми:

$$E = \frac{1}{2} \left\{ (v_i + v_j + v_k) \pm \sqrt{\frac{1}{2} F_{ijk}^2 (1 + \delta_{jk}) + (v_i - v_j - v_k)^2} \right\}. \quad (4)$$

Оптимизация геометрии фосфина приводит к следующим значениям длин валентных связей и валентных углов: $R_{\text{PH}} = 1,42 \text{ \AA}$ ($1,42 \text{ \AA}$), $A_{\text{HPH}} = 93,4\text{--}93,6^\circ$ ($93,5^\circ$). В скобках приведены данные микроволнового эксперимента из монографии [6]. Для метилфосфина: $R_{\text{PH}} = 1,42\text{--}1,43 \text{ \AA}$ ($1,42 \text{ \AA}$), $A_{\text{HPH}} = 93,4\text{--}93,6^\circ$ ($93,5^\circ$), $R_{\text{CH}} = 1,09 \text{ \AA}$ ($1,04 \text{ \AA}$), $R_{\text{CP}} = 1,87\text{--}1,88 \text{ \AA}$ ($1,83 \text{ \AA}$), $A_{\text{HCH}} = 108,7\text{--}108,8^\circ$ ($109,5^\circ$). Влияние базиса на значения геометрических параметров не вы-

СИСТЕМНЫЙ АНАЛИЗ, МАТЕМАТИЧЕСКОЕ МОДЕЛИРОВАНИЕ

ходит за рамки точности экспериментальных данных и не оказывается на кинематической части модельного гамильтониана (1).

Таблица 1

Интерпретация фундаментальных колебаний фосфина

Тип симмет.	Форма колеб.	$v_{\text{экс}}$		Гармонич. прибл.			Ангармонич. прибл.			
		ИК	КР	v_e	v_m	ИК	v_e	v_m	$v_{\text{ане}}$	ИК
Минимум (расчет)										
A ₁ (A')	q_{PH}	2328	2306	2370	2279	46,3	2371	2279	2280	47,2
E(A')	q_{PH}	2328	2306	2377	2285	79,7	2379	2287	2262	78,7
E(A')	α_{HPh}	1122	1115	1143	1110	12,7	1143	1111	1115	12,7
A ₁ (A')	α_{HPh}	992	979	1023	995	25,2	1023	995	1006	25,2
E(A'')	q_{PH}	2328	2306	2377	2285	79,7	2376	2285	2287	79,7
E(A'')	α_{HPh}	1122	1115	1143	1110	12,7	1143	1110	1117	12,7
Максимум (расчет)										
A ₁ (A')	q_{PH}	2328	2306	2404	2311	54,1	2406	2313	2301	55,8
E(A')	q_{PH}	2328	2306	2418	2324	114	2421	2327	2296	113
E(A')	α_{HPh}	1122	1115	1170	1137	14,8	1170	1137	1141	14,8
A ₁ (A')	α_{HPh}	992	979	1055	1026	33,4	1055	1026	1036	33,4
E(A'')	q_{PH}	2328	2306	2418	2324	114	2419	2324	2319	114
E(A'')	α_{HPh}	1122	1115	1170	1137	14,8	1170	1137	1143	14,8

Результаты анализа колебательных состояний фосфина представлены в таблицах 1–4. Из них следует, что искусственное понижение симметрии молекулы практически не оказывается на расчетных значениях частот фундаментальных колебательных состояний и интенсивностей полос. Операция масштабирования дает оценку ангармонического смещения, адекватную расчету в ангармоническом приближении при искусственном понижении симметрии фосфина с C_{3v} до C_s . Ангармонических резонансов для порогового значения в 10 см^{-1} не наблюдается, а резонансы Дарлинга-Деннисона расчетную картину спектра не меняют. Разброс значений постоянных ангармоничности, кубических и квартичных силовых постоянных, показывающий влияние атомного базиса, не оказывает существенного влияния на теоретическую оценку ангармонического смещения полос.

Таблица 2

Ангармонические постоянные фосфина χ_{ij} , см^{-1}

Индексы		X_{ij}		Индексы		X_{ij}		Индексы		X_{ij}	
i	j	Мин.	Макс.	i	j	Мин.	Макс.	i	j	Мин.	Макс.
1	1	-36,6	-30,2	3	2	-11,6	-7,21	6	3	-2,44	-1,70
2	1	-55,9	-38,6	4	2	-1,77	0,18	4	4	-6,13	-5,04
3	1	-9,81	-8,55	5	2	-66,2	-60,3	5	4	-2,43	-1,40
4	1	-8,16	-7,16	6	2	-8,80	-4,62	6	4	-2,11	-0,75
5	1	-20,5	-11,9	3	3	-4,74	-3,40	5	5	-21,3	-19,1
6	1	-21,4	-20,4	4	3	-2,01	-0,74	6	5	-7,55	-6,05
2	2	-16,7	-15,6	5	3	-18,6	-17,6	6	6	-4,18	3,26

ПРИКАСПИЙСКИЙ ЖУРНАЛ:
управление и высокие технологии № 4 (8) 2009

Таблица 3
 Диапазон изменения кубических силовых постоянных фосфина, см⁻¹

Индексы			F_{ijk}		Индексы			F_{ijk}		Индексы			F_{ijk}	
<i>i</i>	<i>j</i>	<i>k</i>	Мин.	Макс.	<i>i</i>	<i>j</i>	<i>k</i>	Мин.	Макс.	<i>i</i>	<i>j</i>	<i>k</i>	Мин.	Макс.
1	1	1	-1060	-803	4	1	1	63,8	76,4	5	5	2	-932	-880
2	1	1	-767	-625	4	2	1	-16,6	-10,3	5	5	3	29,2	31,5
2	2	1	66,0	130	4	2	2	18,2	24,5	5	5	4	76,9	85,5
2	2	2	-882	-847	4	3	1	-40,1	-33,1	6	5	1	34,7	36,4
3	1	1	-29,6	-22,3	4	3	2	3,8	7,2	6	5	2	0,4	3,1
3	2	1	15,4	19,6	4	3	3	-26,6	-8,8	6	5	3	28,2	34,3
3	2	2	-7,2	-2,6	4	4	1	14,4	31,7	6	5	4	-40,6	-34,4
3	3	1	-27,8	-15,6	4	4	2	151	170	6	6	1	38,6	44,9
3	3	2	57,8	70,7	4	4	4	-99,2	-78,6	6	6	2	46,6	60,1
3	3	3	-59,4	-41,2	5	5	1	401	517	6	6	3	38,1	56,5

Результаты модельных расчетов колебательных состояний метилфосфина представлены в таблицах 5–8. Неэмпирические квантовые расчеты подтверждают интерпретацию фундаментальных колебаний, предложенную в монографии [6].

Таблица 4
 Диапазон изменения квартичных силовых постоянных фосфина, см⁻¹

Индексы				F_{ijkl}		Индексы				F_{ijkl}		Индексы				F_{ijkl}	
<i>i</i>	<i>j</i>	<i>k</i>	<i>l</i>	Мин.	Макс.	<i>i</i>	<i>j</i>	<i>k</i>	<i>l</i>	Мин.	Макс.	<i>i</i>	<i>j</i>	<i>k</i>	<i>l</i>	Мин.	Макс.
1	1	1	1	386	484	4	3	3	1	-3,5	-2,3	5	5	4	3	-42,3	-41,6
2	1	1	1	154	167	4	3	3	2	5,2	11,8	5	5	4	4	-98,7	-95,2
2	2	1	1	135	191	4	3	3	3	-2,1	2,5	5	5	5	5	416	431
2	2	2	1	-93,9	-65,4	4	4	1	1	-122	-119	6	5	1	1	-2,5	-0,2
2	2	2	2	253	301	4	4	2	1	-12,3	-10,2	6	5	2	2	-1,8	1,0
3	1	1	1	10,1	12,8	4	4	2	2	-103	-97,1	6	5	3	3	-1,8	-0,7
3	2	1	1	8,3	11,8	4	4	3	1	-15,7	-14,0	6	5	4	4	-17,7	-15,3
3	2	2	1	-6,3	-1,5	4	4	3	2	2,5	5,0	6	5	5	5	5,6	7,7
3	2	2	2	2,6	5,7	4	4	3	3	-7,8	-2,3	6	6	1	1	-162	-156
3	3	1	1	-67,0	-58,0	4	4	4	1	1,7	7,1	6	6	2	1	-41,7	-28,9
3	3	2	1	27,1	32,8	4	4	4	2	37,6	43,1	6	6	2	2	-76,4	-64,5
3	3	2	2	-97,9	-93,0	4	4	4	3	2,3	3,4	6	6	3	1	-3,0	0,7
3	3	3	1	-2,7	-0,3	4	4	4	4	-17,3	2,5	6	6	3	2	-13,1	-9,4
3	3	3	2	11,7	17,1	5	5	1	1	69,6	107	6	6	3	3	-7,3	-5,9
3	3	3	3	-21,2	-19,0	5	5	2	1	-178	-153	6	6	4	1	-2,3	2,0
4	1	1	1	-32,6	-28,9	5	5	2	2	300	350	6	6	4	2	4,2	9,8
4	2	1	1	-23,1	-15,7	5	5	3	1	-2,2	-0,2	6	6	4	3	-0,1	4,5
4	2	2	1	-1,4	3,7	5	5	3	2	-8,1	-6,5	6	6	4	4	-8,2	-2,0
4	2	2	2	-16,6	-12,5	5	5	3	3	-143	-139	6	6	5	5	-61,0	-58,6
4	3	1	1	52,8	61,6	5	5	4	1	15,6	18,1	6	6	6	5	-7,8	-3,4
4	3	2	2	-14,8	-6,1	5	5	4	2	-24,9	-23,0	6	6	6	6	-16,0	-12,6

Имеет место резонансное взаимодействие между фундаментальными состояниями, интерпретированными как валентные колебания связей CH и PH, и составными тонами (v_i и v_j)

СИСТЕМНЫЙ АНАЛИЗ, МАТЕМАТИЧЕСКОЕ МОДЕЛИРОВАНИЕ

$+ v_k$). Однако расхождение резонирующих колебательных состояний в рамках схемы резонанса Ферми (4) за счет возмущения, определяемого соответствующими кубическими постоянными, не превышает 10 см^{-1} (табл. 7). Имеет место значительное (около $80\text{--}100 \text{ см}^{-1}$) расхождение фундаментальных частот, обусловленное учетом констант ангармоничности χ_{ij} (табл. 6). При этом значения обертонных частот, вычисленные в ангармоническом приближении, находятся в лучшем согласии с приведенными в монографии [6] экспериментальными данными. Объяснить этот факт можно тем, что в реальном эксперименте сильные по интенсивности в ИК- и КР-спектрах полосы в области $2240\text{--}2310 \text{ см}^{-1}$ не были интерпретированы как совокупность двух резонирующих состояний, а были отнесены к фундаментальному колебанию связи РН. Косвенным подтверждением такого предположения может служить расхождение в оценке ($\sim 15 \text{ см}^{-1}$) положения полос в ИК- и КР-спектрах и присутствия по одной полосе [6] в каждом из спектров.

Кроме того, после расхождения близких (резонансных) состояний говорить о принадлежности полосы к фундаментальному или обертонному состоянию можно только при условии, если имеется численная оценка интенсивности полос. Для обертонов на сегодняшний день такие оценки носят, в лучшем случае, качественный характер.

Впрочем, имеющееся расхождение (около 50 см^{-1}) экспериментальных значений частот фундаментальных колебаний и рассчитанных в ангармоническом приближении теории молекулярных колебаний на интерпретацию спектра не влияет, поскольку в высокочастотном диапазоне валентные колебания связей СН и РН разнесены на величину $\sim 700 \text{ см}^{-1}$. Именно по частоте валентного колебания связи РН можно осуществлять спектральную идентификацию фосфороганических соединений, содержащих фрагмент RN_2 . Отметим, что частота валентного колебания связи РН этого фрагмента в фенилфосфине и дифенилфосфине [7] равна приблизительно 2280 см^{-1} .

Таблица 5
Интерпретация колебательных состояний метилфосфина

Форма колеб.	$v_{\text{ЭКС}} [2]$	Минимум					Максимум				
		v_e	v_m	v_{an}	ИК	КР	v_e	v_m	v_{an}	ИК	КР
Тип симметрии A'											
q_{CH}	3000	3122	2982	2972	9,97	71,9	3155	3013	3004	13,1	79,4
q_{CH}	2926	3040	2906	2927	15,6	103	3065	2929	2971	21,0	139
q_{PH}	2297	2356	2266	2215	78,0	162	2392	2299	2242	97,7	205
α_{CH_3}	1440	1474	1428	1429	5,17	10,1	1508	1461	1484	6,72	18,3
β_{PCH}	1288	1337	1297	1311	0,23	0,41	1363	1322	1337	0,49	1,14
β_{HPH}	1093	1118	1087	1077	16,6	24,2	1145	1113	1103	21,4	53,7
β_{PCH}	977	1000	973	980	50,3	4,67	1015	987	995	68,5	16,7
β_{CPH}	740	743	724	720	0,54	8,66	749	731	728	0,69	11,8
Q_{CP}	673	666	650	648	6,77	15,1	670	654	653	9,16	21,0
Тип симметрии A''											
q_{CH}	2992	3113	2973	2966	9,88	66,9	3144	3002	2995	13,1	74,7
q_{PH}	2312	2360	2269	2219	96,6	126	2401	2308	2251	131	174
α_{CH_3}	1440	1478	1433	1446	6,70	11,1	1510	1463	1476	9,36	18,2
β_{PCH}	1017	1039	1011	1008	19,7	9,66	1051	1022	1021	23,4	19,9
β_{CPH}	677	702	685	684	0,82	4,28	709	691	690	1,25	7,48
χ_{CH_3}	207	233	228	193	2,04	0,12	236	231	200	2,71	0,39

ПРИКАСПИЙСКИЙ ЖУРНАЛ:
управление и высокие технологии № 4 (8) 2009

Представляется интересным характер поведения ангармонических и силовых постоянных метилфосфина при смене базиса расчета (табл. 6, 7). Имеющиеся изменения наблюдаются при замене базиса 6–31 G на 6–311 G.

Таблица 6
Ангармоническое смещение фундаментальных состояний в метилфосфине, см⁻¹

	v ₁	v ₂	v ₃	v ₄	v ₅	v ₆	v ₇	v ₈	v ₉	v ₁₀	v ₁₁	v ₁₂	v ₁₃	v ₁₄	v ₁₅
6–31 G(d)															
X _{ii}	-77	-38	-59	-28	-17	-10	-2	-14	-11	-69	-56	-28	-3	-3	-24
X _i	-75	-55	-90	4	-8	-32	-18	-6	-6	-80	-93	-6	-28	-15	-12
6–31 G(d, p)															
X _{ii}	-75	-38	-57	-20	-17	-11	-2	-2	-16	-68	-54	-20	-3	-3	-25
X _i	-76	-70	-87	-17	-4	-30	-18	-19	-1	-80	-89	-15	-28	-15	-12
6–311 G(d)															
X _{ii}	-75	-38	-56	-22	-16	-11	-2	-1	-11	-67	-52	-23	-3	-3	-25
X _i	-76	-64	-86	-12	-8	-31	-19	-20	-7	-80	-89	-10	-29	-15	-14
6–311 G(d, p)															
X _{ii}	-74	-38	-55	-18	-17	-11	-3	9	-7	-67	-52	-19	-3	-4	-25
X _i	-76	-73	-85	-29	-15	-32	-19	-33	-12	-79	-88	-14	-29	-16	-15
6–311+ G(d, p)															
X _{ii}	-73	-38	-56	-17	-17	-10	-3	8	-7	-67	-52	-19	-3	-4	-25
X _i	-77	-74	-86	-28	-14	-31	-19	-31	-12	-80	-88	-14	-29	-16	-16

Однако ангармоническое смещение и в этом случае не выходит за границы критерия точности предсказательных расчетов в 10 см⁻¹, предложенных в публикации [5] для фосфороганических соединений.

Таблица 7
Кубические силовые постоянные метилфосфина (в см⁻¹)

Индексы			6–31 G(d)	6–31 G(d, p)	6–311 G(d)	6–311 G(d, p)	6–31 +G(d, p)
i	j	k					
8	3	1	1,93	-1,81	2,04	1,81	1,84
9	3	2	1,23	1,27	1,23	1,27	1,22
11	10	8	0,60	-0,55	0,61	0,46	0,49
13	11	5	-3,74	-3,87	-3,49	-3,79	-3,92
3	7	5	-5,78	-6,11	-6,06	-6,55	-6,62

Таблица 8
Интерпретация резонирующих колебательных состояний в метилфосфине

i	j	k	6–31 G(d)	6–31 G(d, p)	6–311 G(d)	6–311 G(d, p)	6–311+ G(d, p)
1	8	3	3000	2961	2977	2934	2976
2	9	3	2971	2894	2944	2865	2931
10	8	11	2992	2970	2969	2938	2969
11	5	13	2251	2355	2219	2349	2239
3	7	5	2242	2330	2240	2310	2233

СИСТЕМНЫЙ АНАЛИЗ, МАТЕМАТИЧЕСКОЕ МОДЕЛИРОВАНИЕ

Проведенный численный эксперимент дает основания полагать, что метод функционала плотности позволяет оценивать геометрическую и электронную структуру фосфороганических соединений, содержащих фрагменты РН и РН₂, строить структурно-динамические модели таких соединений и осуществлять предсказательные расчеты колебательных состояний.

Библиографический список

1. *Бехтерева, К. С.* Об определении потенциальных функций молекул Н₂СО, РН₃ и СН₄ на основе экспериментальных данных / К. С. Бехтерева // Известия вузов. – 2008. – № 2. – С. 58–63. – (Физика).
2. *Браун, П. А.* Введение в теорию молекулярных спектров / П. А. Браун, А. А. Киселев. – Л. : Наука, 1983. – 342 с.
3. *Гречухина, О. Н.* Использование информационной технологии “Gaussian” в моделировании адиабатических потенциалов кислородосодержащих соединений / О. Н. Гречухина, А. М. Лихтер, П. М. Элькин // Прикаспийский журнал: управление и высокие технологии. – 2009. – № 2 (6). – С. 37–45.
4. *Лисица, М. П.* Резонанс Ферми / М. П. Лисица, А. М. Яремко. – Киев : Наукова думка, 1984. – 250 с.
5. *Мясоедов, Б. Ф.* Фрагментарные методы расчета ИК-спектров фосфороганических соединений / Б. Ф. Мясоедов, Л. А. Грибов, А. И. Павлючко // Журнал структурной химии. – 2006. – Т. 47, № 3. – С. 449–456.
6. *Свердлов, Л. М.* Колебательные спектры многоатомных молекул / Л. М. Свердлов, М. А. Kovner, Е. П. Крайнов. – М. : Наука, 1970.
7. *Элькин, П. М.* Колебательные спектры и структурно-динамические модели арсин- и фосфинзамещенных дифенила / П. М. Элькин, В. Ф. Пулин, Е. А. Джамхамбетова // Журнал прикладной спектроскопии. – 2008. – Т. 75, № 4. – С. 464–467.
8. *Эрман, Е. А.* Информационная технология Gaussian и структурно-динамические модели кислородосодержащих соединений / Е. А. Эрман, П. М. Элькин, О. Н. Гречухина // Вестник СГТУ. – 2009. – № 2 (39), вып. 2. – С. 108–114.
9. *Frisch, M. J.* Gaussian 03, Revision B.03; Gaussian / M. J. Frisch, G. W. Trucks, H. B. Schlegel et al. – Pittsburgh : Gaussian Inc., 2003.
10. *Wang, D.* An ab initio quartic force field of PH₃ / Dong Wang, Quang Shi, Qing-Shi Zhu // Journal of Chemical Physics. – 2000. – Vol. 112, № 21. – P. 9624–9631.

УДК 519.6

МОДЕЛИРОВАНИЕ МАГНИТНЫХ СВОЙСТВ НЕУПОРЯДОЧЕННЫХ ДВОЙНЫХ ПЕРОВСКИТОВ НА ОСНОВЕ НЕЙРОННОЙ СЕТИ ХОПФИЛДА

T.B. Панченко

Исследуется влияние степени разупорядочения в подрешетках катионов на магнитные свойства двойных перовскитов A₂B1B2O₆ с применением нейронной сети Хопфилда. Моделирование проводилось на кубической решетке, в узлах которой располагаются атомы сортов B1 и B2. Распределение атомов в решетке задается соответственно степени разупорядочения в подрешетках катионов. Энергия сети Хопфилда описывается гамильтонианом энергии модели Изинга. Моделирование проводилось для соединений Sr₂FeMoO₆ и PbFe_½Nb_½O₃.

Ключевые слова: двойные перовскиты, нейронная сеть Хопфилда, модель Изинга, антиструктурный дефект, степень разупорядочения, магнитные свойства, SFMO, PFN.